

УДК 539.196+547.314+544.353

ТЕОРЕТИЧЕСКАЯ ОЦЕНКА НЕКОТОРЫХ ВЗАИМОДЕЙСТВИЙ В СИСТЕМЕ АЦЕТИЛЕН—ГИДРОКСИД ЩЕЛОЧНОГО МЕТАЛЛА—ДМСО

© 2009 Н.М. Витковская¹, В.Б. Кобычев^{1*}, Е.Ю. Ларионова¹, И.Л. Зайцева¹,
Б.А. Трофимов²

¹Иркутский государственный университет

²Иркутский институт химии им. А.Е. Фаворского СО РАН

Статья поступила 6 мая 2008 г.

В рамках неэмпирического подхода, а также с использованием метода функционала плотности исследовано формирование сольватных оболочек недиссоциированных гидроксидов щелочных металлов соответствующих катионов и гидроксид-иона в диметилсульфоксиде (ДМСО), а также комплексов, в которых окружение щелочного металла содержит, наряду с молекулами растворителя, координированную молекулу ацетилена. Показано, что координационное число гидроксид-иона в ДМСО равно четырем. Продемонстрировано, что сольватированные катионы щелочных металлов неспособны образовывать π -комплексы с молекулой ацетилена, тогда как внедрение молекулярного ацетилена в сольватную оболочку недиссоциированных NaOH и KOH возможно.

Ключевые слова: щелочные металлы, гидроксиды, катионы, гидроксид-ион, диметилсульфоксид, ацетилен, координация, сольватация, неэмпирические расчеты.

ВВЕДЕНИЕ

В последние три десятилетия наблюдается повышение интереса к сверхосновным средам вообще и их использованию в органическом синтезе на основе ацетилена в частности [1—3]. В таких средах осуществляются уникальные реакции, например, получение пирролов из кетоксимов и ацетилена в одну синтетическую стадию [4—6]. В ряде случаев реакции, традиционно проводящиеся при высоких температурах и давлениях, при использовании сред с повышенной основностью идут при атмосферном давлении и умеренных температурах [3].

Наиболее универсальной из суперосновных сред и в то же время одной из самых доступных, стабильных и удобных в обращении является система KOH/ДМСО. Повышенную основность этой системы традиционно связывают со специфической сольватацией катиона в среде, слабо сольватирующей анионы [7]. Это позволяет в первом приближении пренебречь присутствием катиона в реакционной среде при обсуждении и моделировании механизмов реакций. Подход к изучению механизмов реакций, осуществляющихся в суперосновных средах, на основании неэмпирических квантово-химических исследований поверхностей потенциальной энергии в предположении, что эти реакции происходят по анионному механизму, и учитывающий влияние растворителя в рамках континуальной модели IEFPCM [8, 9], был успешно применен при исследовании механизмов протонной миграции в алкенах и алкинах [10], взаимодействия анионов пирролов с сероуглеродом [11—13], превращений ненасыщенных соединений с двойной связью C=N [14], процессов винилирования метанола [15], пиррола и азопиррола [16].

В то же время природа катиона щелочного металла в ряде случаев оказывает существенное влияние на ход реакций, в частности, с участием ацетилена. На основании неэмпирических

* E-mail: gimli@cc.isu.ru

квантово-химических расчетов для газовой фазы [17—19] π -координация катионом металла или недиссоциированной молекулой щелочи рассматривается как важная составляющая активации молекулы ацетилена по отношению к нуклеофильному агенту [3]. В этих работах на основании расчетов модельных соединений впервые было высказано предположение, что различие в способности катионов активировать молекулу ацетилена по отношению к нуклеофилам связано с различием в прочности их связей с молекулой ДМСО. То же, в сущности, объяснение предложено недавно [20] на основании исследования координации катионов натрия и калия с молекулами ДМСО в рамках RHF/6-31G* и B3LYP/6-31G*. При этом, однако, ни процесс замещения ДМСО молекулой ацетилена в координационной сфере катиона щелочного металла, ни строение образующихся сольватированных комплексов не изучались.

В данной работе проведено неэмпирическое квантово-химическое исследование координации молекулы ацетилена металлическим центром в среде, содержащей сольватированные в ДМСО гидроксиды щелочных металлов. С этой целью рассмотрено взаимодействие с молекулами диметилсульфоксида недиссоциированных гидроксидов, продуктов их диссоциации, а также комплексов, в которых окружение щелочного металла содержит, наряду с молекулами растворителя, координированную молекулу ацетилена. Расчеты проведены по программе GAUSSIAN-98 [21].

СОЛЬВАТНЫЕ ОБОЛОЧКИ КАТИОНОВ И ГИДРОКСИД-ИОНА

Координация молекул ДМСО катионами металлов ранее уже была исследована в рамках методов RHF/6-31G* и B3LYP/6-31G* [20, 22]. Найдено, что координационные числа Li^+ , Na^+ и K^+ равны 4, 5 и 6 соответственно.

Рассчитанная нами в рамках метода RHF/6-31G* энталпия образования $\text{M}^+\cdot\text{DMSO}$ уменьшается в ряду $\text{Li}^+ > \text{Na}^+ > \text{K}^+$ от $-66,3$ в $\text{Li}^+\cdot\text{DMSO}$ до $-46,7$ в $\text{Na}^+\cdot\text{DMSO}$ и $-34,6$ ккал/моль в $\text{K}^+\cdot\text{DMSO}$. Эти значения несколько выше приводимых авторами [20, 22] энергий образования соответствующих комплексов без учета колебательных поправок. С увеличением числа молекул растворителя в координационной сфере катиона энергия связывания каждой следующей молекулы ДМСО уменьшается. При формировании первой координационной сферы катиона натрия, состоящей из пяти молекул ДМСО, тепловой эффект ΔH^{298} реакции



рассчитанный нами в приближении RHF/6-31G*, составляет $-46,4$, $-37,6$, $-24,9$, $-19,5$ и $-12,7$ ккал/моль для $n = 1—5$. В случае катиона калия, координационная сфера которого включает 6 молекул растворителя, эти значения составляют $-34,6$, $-27,0$, $-20,3$, $-14,4$, $-13,8$ и $-9,7$ ккал/моль для $n = 1—6$ соответственно. Полученные нами значения энталпии образования $\text{K}^+\cdot n\text{DMSO}$ последовательно возрастают с увеличением n , тогда как приводимые в [20] энергии образования без учета колебательных поправок предсказывают для пятой присоединяемой молекулы ДМСО большую энергию связывания, чем для четвертой.

Легко видеть, что суммарная энергия образования комплексов $\text{Na}^+\cdot 5\text{DMSO}$ ($-141,1$) и $\text{K}^+\cdot 6\text{DMSO}$ ($-119,8$ ккал/моль) значительно превышают экспериментально определяемую энталпию сольватации катионов натрия ($-113,2$) и калия ($-94,0$ ккал/моль) в диметилсульфоксиде [23], но их относительная разность передается вполне удовлетворительно. Завышение энергий взаимодействия, очевидно, не связано с ошибкой суперпозиции базисных наборов: переход к базису 6-311++G** не изменяет энергии связывания $\text{Na}^+\cdot\text{DMSO}$ по сравнению с расчетом RHF/6-31G*, а в случае $\text{Na}^+\cdot 2\text{DMSO}$ расширение базисного набора приводит даже к увеличению суммарной энергии связывания на 1,6 ккал/моль. Использование частично учитывающего эффекты электронной корреляции метода функционала плотности в варианте B3LYP/6-31G* не приводит к существенному изменению энергии связывания $\text{Na}^+\cdot n\text{DMSO}$, тогда как для $\text{K}^+\cdot n\text{DMSO}$ предсказывает большую, чем метод RHF/6-31G*, энергию связи третьей и последующих молекул ДМСО с катионом [20]. В результате метод функционала плотности в еще большей степени переоценивает взаимодействие катиона калия с растворителем: энергия обра-

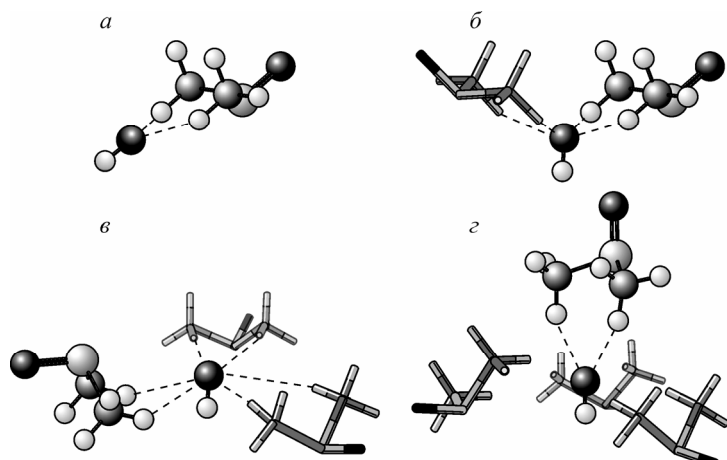


Рис. 1. Комплексы $\text{OH}^- \cdot n\text{DMSO}$ ($n = 1 — 4$)

зования $\text{K}^+ \cdot 6\text{DMSO}$ в методе B3LYP/6-31G* достигает 126,6 ккал/моль и отличается от энергии образования $\text{Na}^+ \cdot 5\text{DMSO}$ лишь на 11 ккал/моль.

Гидроксид-ион координирует молекулу диметилсульфоксида по типу H-связи между атомом кислорода OH^- и двумя протонами метильных групп ДМСО (рис. 1, a).

В работе [24] энергия связывания в этом комплексе оценена в расчетах RHF/6-31G* и B3LYP/6-31G* в 38,4 и 51,2 ккал/моль соответственно. Эти оценки, однако, представляются сильно завышенными вследствие отсутствия в базисном наборе диффузных функций. Ошибка, возникающая, прежде всего, при описании гидроксид-иона, не может быть компенсирована ни дополнительным расщеплением функций валентной оболочки, ни введением поляризационных функций (табл. 1). Исследование влияния базисного набора на энергетические характеристики комплекса $\text{OH}^- \cdot \text{DMSO}$ показывает, что базис 6-31+G* вполне достаточен для описания энергии взаимодействия гидроксид-иона с ДМСО: его расширение вплоть до 6-311++G** приводит к изменениям, не превышающим 0,5 ккал/моль как в расчетах RHF, так и при переходе ко второму порядку теории возмущений Меллера—Плессе (MP2). Учет эффектов корреляции во втором порядке теории возмущений увеличивает энергию взаимодействия на 3—3,5 ккал/моль. Близкие значения энергии взаимодействия получены в рамках метода функционала плотности, при этом оценки, полученные с использованием базиса 6-31+G* для потенциала B3LYP ($\Delta E = -29,8$ ккал/моль, $\Delta H = -20,0$ ккал/моль) несколько ниже, а для потенциала PW91 ($\Delta E = -32,5$ ккал/моль, $\Delta H = -32,2$ ккал/моль) — несколько выше, чем предоставляемые расчетом MP2/6-31+G*.

Формирование ближней сольватной оболочки гидроксид-иона рассмотрено в рамках метода RHF/6-31+G*. Теплота образования ΔH комплекса $\text{OH}^- \cdot \text{DMSO}$ в этом приближении составляет $-26,7$ ккал/моль. Присоединение второй молекулы ДМСО приводит к комплексу симметрии C_{2v} $\text{OH}^- \cdot 2\text{DMSO}$ (см. рис. 1, б), теплота этой реакции равна $-17,8$ ккал/моль, а энергия свя-

Таблица 1

Изменение полной (ΔE) и внутренней ($\Delta U = \Delta E + \Delta ZPE$) энергии, энталпии (ΔH) и свободной энергии Гиббса (ΔG) при образовании комплекса $\text{OH}^- \cdot \text{DMSO}$ (ккал/моль) для различных базисных наборов

Параметр	6-31G*	6-31G**	6-31+G*	6-31++G**	6-311G	6-311G*	6-311+G*	6-311++G**
RHF								
ΔE	-38,5	-39,6	-27,9	-28,3	-45,9	-41,4	-29,1	-28,5
ΔU	-36,7	-37,7	-26,4	-26,8	-44,0	-39,6	-27,1	-26,4
ΔH	-38,0	-38,5	-26,7	-27,2	-44,5	-40,1	-27,5	-27,1
ΔG	-28,5	-29,5	-18,6	-19,0	-36,0	-31,9	-19,3	-18,2
MP2								
ΔE	-47,7	-48,7	-31,4	-31,7	-54,6	-51,4	—	-31,9
ΔU	-45,9	-46,8	-29,8	-30,2	-52,6	-49,5	—	-29,8
ΔH	-47,1	-47,5	-30,2	-30,6	-53,2	-50,1	—	-30,5
ΔG	-40,5	-38,6	-22,0	-22,5	-44,7	-41,9	—	-21,6

зывания, приходящаяся на одну молекулу ДМСО, составляет 22,3 ккал/моль. В комплексе симметрии C_{2v} сохраняется в целом структура фрагмента $\text{OH}^- \cdot \text{DMSO}$, изменяется лишь величина угла HOS и увеличивается расстояние между атомом серы и кислородным атомом гидроксидиона.

Добавление следующей, третьей молекулы ДМСО с сохранением той же схемы координации должно приводить к комплексу симметрии C_{3v} , однако молекулы ДМСО при этом испытывают сильное взаимное отталкивание, и энергия присоединения третьей молекулы растворителя с образованием структуры C_{3v} составляет лишь –10,3 ккал/моль. В то же время оказывается, что третью молекулу ДМСО можно разместить несколько иным способом, так, чтобы связь S=O занимала относительно связи O—H не *транс*-, как в одно- и двухкоординированном комплексах, а *цикло*-положение (см. рис. 1, *в*). Энергия такого присоединения составляет –15,7 ккал/моль и лишь на 2,1 ккал/моль меньше энергии диссоциации $\text{OH}^- \cdot 2\text{DMSO}$ на $\text{OH}^- \cdot \text{DMSO}$ и молекулу диметилсульфоксида.

Комплекс $\text{OH}^- \cdot 4\text{DMSO}$ имеет пирамидальное строение (см. рис. 1, *г*). Энергия связывания лиганда, находящегося в вершине пирамиды, с анионным центром, –6,7 ккал/моль, на 13,4 ккал/моль меньше энергии связывания, приходящейся на одну молекулу ДМСО в комплексе $\text{OH}^- \cdot 3\text{DMSO}$. Свободная энергия присоединения этого лиганда становится положительной. Пятая молекула ДМСО начинает формирование второй сольватной оболочки. Энергия ее присоединения к $\text{OH}^- \cdot 4\text{DMSO}$ составляет лишь –2,3 ккал/моль.

Выполненные расчеты показывают, что координационное число гидроксид-иона в ДМСО равно четырем. Для сравнения, расчеты $\text{OH}^- \cdot n\text{H}_2\text{O}$ [25] показывают, что гидроксид-ион в водных растворах содержит в ближайшем окружении 4—5 молекул воды.

НЕДИССОЦИРОВАННЫЕ ГИДРОКСИДЫ МОН В ОКРУЖЕНИИ ДМСО

Гидроксиды щелочных металлов в достаточно малой степени диссоциируют в диметилсульфоксиде. Действительно, экспериментально определяемая [26] константа диссоциации составляет $7,9 \times 10^{-4}$ для KOH и лишь $2,0 \times 10^{-5}$ для NaOH. Вследствие этого, наряду с сольватированными катионами металлов и гидроксид-ионами в системах МОН—ДМСО следует ожидать присутствия значительной доли недиссоциированных молекул МОН, окруженных молекулами растворителя.

Координация молекул ДМСО недиссоциированными гидроксидами металлов исследована в рамках методов RHF/6-31+G* и MP2/6-311++G**//B3LYP/6-31G*.

Для монокомплексов МОН·DMSO оба подхода предсказывают существование двух минимумов, соответствующих различным способам координации молекулы ДМСО молекулой щелочи (см. рис. 2, *а* и *б*). Атом щелочного металла в обоих случаях ориентирован по кислородному атому диметилсульфоксида, тогда как кислородный атом гидроксигруппы взаимодействует с протонами только одной (тип 1) или обеих метильных групп (тип 2) молекулы диметилсульфоксида. В расчетах RHF/6-31+G* комплексы типа 2 предпочтительнее комплексов типа 1 на 2,3 ккал/моль для всего ряда гидроксидов металлов LiOH, NaOH, KOH. Еще более выраженной оказывается предпочтительность координации по типу 2 в расчете MP2/6-311++G**//B3LYP/6-31G*: разность энергий образования комплексов МОН·DMSO различного строения возрастает до 2,9 ккал/моль в случае KOH и достигает 3,3 ккал/моль в случае NaOH (табл. 2). Энталпия образования комплексов МОН·DMSO, рассчитанная в приближении RHF/6-31+G*, уменьшается в ряду Li > Na > K (–29,6, –26,0 и –20,1 ккал/моль соответственно). В более точ-

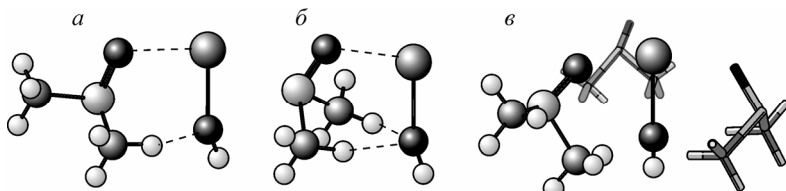


Рис. 2. Ориентация молекул ДМСО в комплексах: *а* — KOH·DMSO, тип 1, *б* — KOH·DMSO, тип 2, *в* — KOH·3DMSO, структура (2,2,1)

Таблица 2

Энергия (ΔE , ккал/моль) и энталпия (ΔH , ккал/моль) присоединения молекулы ДМСО к МОН·*n*DMSO (MP2/6-311++G**//B3LYP/6-31G*)

<i>n</i>	Тип образующейся структуры *	NaOH		KOH		<i>n</i>	Тип образующейся структуры *	NaOH		KOH	
		ΔE	ΔH	ΔE	ΔH			ΔE	ΔH	ΔE	ΔH
0	(1)	-27,6	-26,2	-22,5	-21,5	2	(2,2,1)	-18,0	-16,6	-16,9	-15,5
0	(2)	-30,9	-29,2	-25,4	-24,1	3	(2,2,1,0)	-14,0	—	-15,9	-14,6
1	(2,1)	-21,0	-19,7	-19,1	-17,7	4	—	-11,3	—	-13,1	-11,8
1	(2,2)	-22,6	-21,1	-20,8	-19,2	4	(4+1)	-12,8	—	—	—

* Обозначения в тексте.

ном расчете MP2/6-311++G**//B3LYP/6-31G* энталпия образования NaOH·DMSO и KOH·DMSO возрастает до 29,2 и 24,1 ккал/моль соответственно (см. табл. 2).

Предпочтительность координации по типу 2 сохраняется и при переходе к комплексам МОН·2DMSO: структуры (2,2), в которых обе молекулы ДМСО координированы таким образом, устойчивее изомерных структур (2,1), в которых одна из молекул растворителя координируется по типу 1 (см. табл. 2). В комплексах МОН·3DMSO по крайне мере две молекулы ДМСО координированы по типу 2, координация третьей молекулы по типу 1 (см. рис. 2, *в*) ослабляет ее связывание с МОН, но уменьшает отталкивание с двумя другими молекулами ДМСО. Энергия комплексов NaOH·3DMSO, KOH·3DMSO практически не зависит от способа координации третьей молекулы, для LiOH·3DMSO рассчитанные в приближении RHF/6-31+G* энергии (2,2,2) и более предпочтительной (2,2,1) структур различаются на 3,9 ккал/моль.

Четвертая молекула растворителя оказывается связанной только с атомом щелочного металла. В приближении RHF такая координация в случае LiOH·4DMSO оказывается менее выгодной по сравнению с конфигурацией, в которой четвертая молекула ДМСО занимает положение во второй координационной сфере. Для NaOH·4DMSO переход одной из молекул растворителя во вторую координационную сферу (рис. 3, *а*) связан с понижением энергии менее чем на 0,5 ккал/моль. В случае KOH·4DMSO наиболее устойчива структура, в которой все четыре координируемые молекулы располагаются в непосредственной близости от молекулы щелочи (см. рис. 3, *б*), однако и в этом случае перегруппировка с выходом одной из молекул ДМСО во вторую координационную сферу связана с повышением энергии лишь на 0,5 ккал/моль. Энергия связывания этой молекулы оценивается в приближении RHF/6-31+G* в -7,2 ккал/моль.

Иную оценку устойчивости KOH·4DMSO предоставляет подход MP2/6-311++G**//B3LYP/6-31G*: полученная

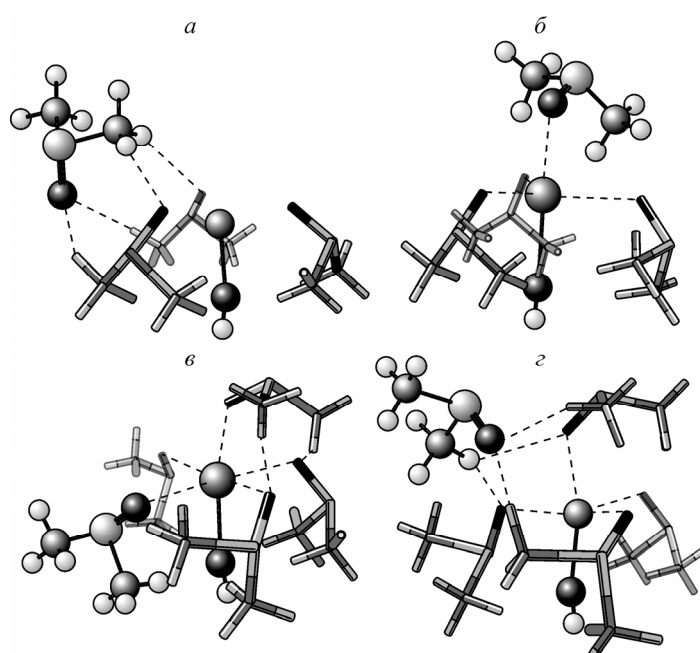


Рис. 3. Ориентация молекул ДМСО в комплексах: *а* — NaOH·4DMSO, *б* — KOH·4DMSO, *в* — KOH·5DMSO, *г* — NaOH·5DMSO, структура (4+1)

энергия связывания для четвертой молекулы ДМСО в ней близка к энергии присоединения третьей молекулы диметилсульфоксида к $\text{KOH}\cdot\text{2DMSO}$ (см. табл. 2).

В приближении B3LYP/6-31G* удается локализовать минимумы, в которых атомы натрия и калия непосредственно связаны с четырьмя и пятью молекулами диметилсульфоксида (см. рис. 3, *в*), однако в случае $\text{NaOH}\cdot\text{5DMSO}$ такая структура неустойчива: выход одной из молекул растворителя во вторую координационную сферу (см. рис. 3, *г*) сопровождается понижением энергии на 1,5 ккал/моль. В то же время для $\text{KOH}\cdot\text{5DMSO}$ энергия присоединения пятой молекулы ДМСО сравнима по величине с энергиями связывания третьей и четвертой молекул растворителя (см. табл. 2).

Отметим, что при наращивании координационной сферы наблюдается сосредоточение молекул растворителя только вблизи катионного центра, тогда как гидроксильная группа участвует в координации лишь с молекулами ДМСО, связанными с атомом щелочного металла. В то же время расширение координационной сферы сопровождается монотонным увеличением расстояния $\text{Na}—\text{OH}$ от 1,967 Å в свободном NaOH до 2,262 Å в $\text{NaOH}\cdot\text{4DMSO}$ и $\text{NaOH}\cdot\text{5DMSO}$. Еще более выражено это изменение в случае гидроксида калия: от 2,223 Å в свободном KOH до 2,679 Å в $\text{KOH}\cdot\text{5DMSO}$. Таким образом, гидроксид калия проявляет большую склонность к диссоциации в ДМСО, что согласуется со значительным различием констант диссоциации KOH и NaOH .

КООРДИНАЦИЯ АЦЕТИЛЕНА

Образование π -комплексов ацетилена с катионами металлов часто рассматривается в качестве фактора, способствующего его активации по отношению к нуклеофильной атаке.

В газовой фазе энталпия образования катионных π -комплексов ацетилена (рис. 4, *а*—*в*) с катионами щелочных металлов, оцененная в рамках MP2/6-311++G**//B3LYP/6-31G*, убывает в ряду $\text{Li}^+ > \text{Na}^+ > \text{K}^+$ (-20,5, -12,7 и -8,4 ккал/моль соответственно). В приближении RHF/6-31G* энергия образования π -комплексов $\text{M}^+\cdot\text{C}_2\text{H}_2$ в случае Na^+ составляет -14,9 ккал/моль, что лишь на 2,2 ккал/моль превышает рассчитанную в том же приближении для $\text{Na}^+\cdot\text{5DMSO}$ энергию связывания последней, пятой, молекулы ДМСО в ближайшей координационной сфере катиона. Для катиона K^+ энергия связывания π -комплекса (8,4 ккал/моль) даже меньше, чем энергия связывания последней молекулы ДМСО, завершающей построение первой координационной сферы катиона (9,7 ккал/моль). Замещение молекулы растворителя молекулой ацетилена, таким образом, представляется маловероятным. Действительно, даже в комплексе $\text{Na}^+\cdot\text{4DMSO}\cdot\text{C}_2\text{H}_2$ (рис. 5) энергия связывания молекулы ацетилена составляет лишь 2,5 ккал/моль, и процесс замещения молекулы ДМСО

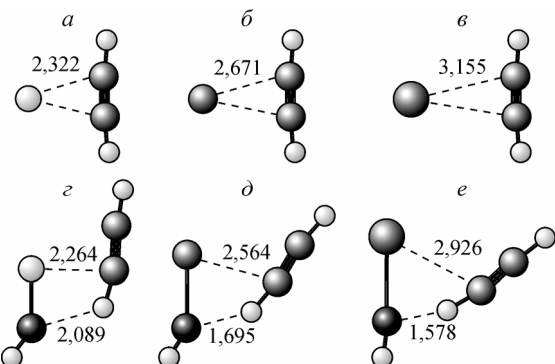


Рис. 4. π -Комплексы ацетилена с катионами щелочных металлов: *а* — $\text{Li}^+\cdot\text{C}_2\text{H}_2$, *б* — $\text{Na}^+\cdot\text{C}_2\text{H}_2$, *в* — $\text{K}^+\cdot\text{C}_2\text{H}_2$ и молекулами гидроксидов щелочных металлов: *г* — $\text{LiOH}\cdot\text{C}_2\text{H}_2$, *д* — $\text{NaOH}\cdot\text{C}_2\text{H}_2$, *е* — $\text{KOH}\cdot\text{C}_2\text{H}_2$. Межатомные расстояния (\AA) по данным B3LYP/6-31G*

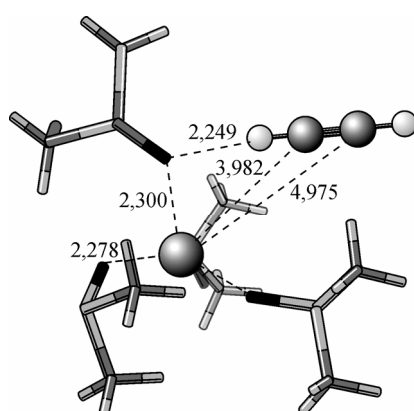
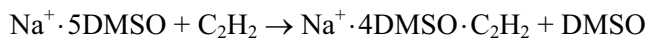


Рис. 5. Катионный комплекс $\text{Na}^+\cdot\text{C}_2\text{H}_2\cdot\text{4DMSO}$. Межатомные расстояния (\AA) по данным RHF/6-31G*

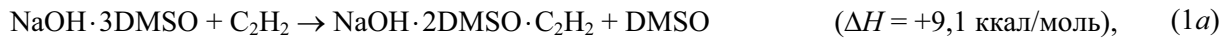


оказывается существенно эндотермичным ($\Delta H = +10,2$ ккал/моль). Кроме того, строение комплекса $\text{Na}^+ \cdot (\text{DMSO})_4 \cdot \text{C}_2\text{H}_2$ показывает, что π -координация молекулы ацетилена катионом металла в нем отсутствует. Углеродные атомы удалены от катиона натрия на 3,985 и 4,975 Å, угол NaCC составляет 142,0°. По-видимому, в данном случае следует говорить о координации молекулы ацетилена к одной из молекул ДМСО: расстояние от ацетиленового атома водорода до кислородного атома одного из лигандов составляет лишь 2,249 Å.

Таким образом, в растворе ДМСО катионы щелочных металлов, прочно связанные сольватным окружением, не способны координировать молекулу ацетилена. В качестве альтернативы нами рассмотрена возможность взаимодействия молекулы ацетилена с недиссоциированными молекулами NaOH и KOH в окружении диметилсульфоксида.

В отличие от катионных комплексов, энталпия образования комплексов $\text{MOH} \cdot \text{C}_2\text{H}_2$, считанная в рамках MP2/6-311++G**//B3LYP/6-31G*, возрастает при переходе от LiOH к NaOH и KOH ($-8,4; -10,8; -10,8$ ккал/моль соответственно). Отметим, однако, что единственному минимуму на поверхности потенциальной энергии соответствует вовсе не Т-образная, а планарная структура, в которой кислородный атом MOH взаимодействует с атомом водорода молекулы ацетилена (см. рис. 4, ε — e). Анализ естественных орбиталей связей (NBO) [27] показывает, что это взаимодействие вносит доминирующий вклад в стабилизацию $\text{MOH} \cdot \text{C}_2\text{H}_2$. В то же время следует отметить, что расстояние от атома металла до одного из углеродных атомов в этих комплексах меньше соответствующих расстояний в π -комплексах соответствующих катионов.

Последовательное включение в координационную сферу двух и трех молекул ДМСО (рис. 6, a и b) незначительно уменьшает теплоту образования $\text{KOH} \cdot \text{C}_2\text{H}_2$ (табл. 3) и в несколько большей степени — $\text{NaOH} \cdot \text{C}_2\text{H}_2$ (см. рис. 6, v и ε). В то же время энергии связывания молекулы ацетилена, занимающей третье или четвертое координационное место в координационной сфере MOH, значительно меньше, чем с соответствующей молекулой растворителя, и процессы замещения ДМСО ацетиленом



оказываются энергетически невыгодными, а равновесие целиком смешено влево, особенно в случае NaOH. Этого можно было ожидать, поскольку даже в свободных $\text{KOH} \cdot \text{C}_2\text{H}_2$ и $\text{NaOH} \cdot \text{C}_2\text{H}_2$ молекула ацетилена связана слабее, чем завершающая построение сольватной оболочки $\text{NaOH} \cdot 4\text{DMSO}$ или $\text{KOH} \cdot 5\text{DMSO}$ молекула диметилсульфоксида. При этом, однако, следует учесть, что замещение ацетиленом молекулы ДМСО вовсе не обязательно должно сопровождаться ее удалением на бесконечность, как это предполагается уравнениями (1a)—(1v); гораздо более вероятным, по крайней мере, для газовой фазы представляется переход вытесненной из ближнего сольватного окружения молекулы растворителя во вторую координационную сферу. Энергия ΔE взаимодействия внешнесферной молекулы ДМСО с ближней сольватной оболочкой $\text{NaOH} \cdot 4\text{DMSO}$ (см. табл. 2) составляет $-12,8$ ккал/моль, и переход молекулы растворителя во вторую координационную сферу сопровождается понижением энергии на 1,5 ккал/моль. Можно ожидать, что аналогичное взаимодействие внешнесферной молекулы с окружением $\text{KOH} \cdot 4\text{DMSO} \cdot \text{C}_2\text{H}_2$ будет описываться близким значением энергии связывания, и для $\text{KOH} \cdot 5\text{DMSO}$ энергия перегруппировки в структуру (4+1) может быть оценена в $+0,3$ ккал/моль. С учетом этого обстоятельства процесс вытеснения одной из молекул ДМСО во вторую координационную сферу молекулой ацетилена



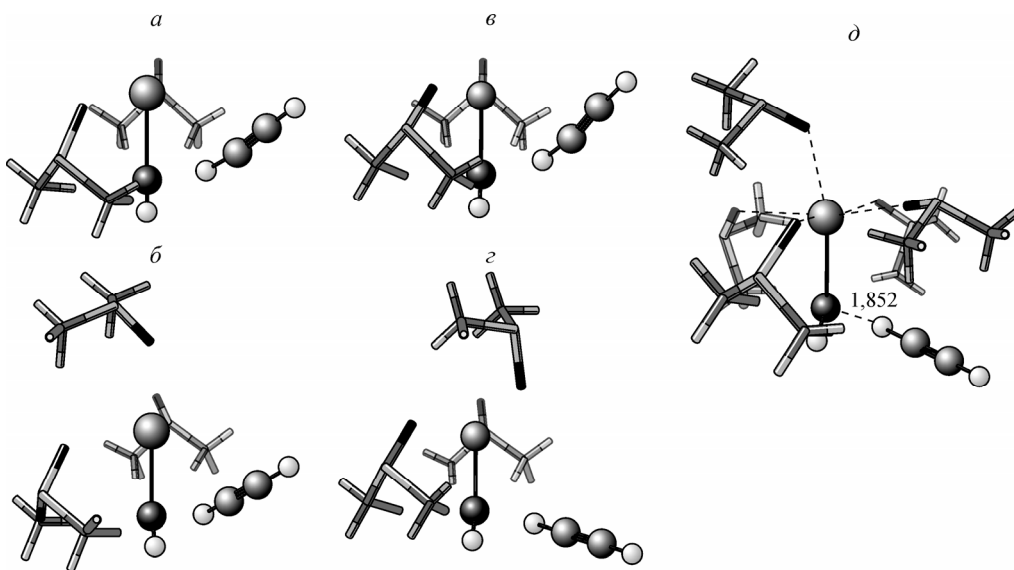


Рис. 6. Комpleксы ацетилена с молекулами гидроксидов щелочных металлов в окружении ДМСО: *α* — KOH·2DMSO·C₂H₂, *β* — KOH·3DMSO·C₂H₂, *γ* — NaOH·2DMSO·C₂H₂, *δ* — KOH·5DMSO·C₂H₂

становится экзотермичным уже при энергии связывания ацетилена в KOH·4DMSO·C₂H₂ 2–3 ккал/моль. Учитывая, что наращивание координационной сферы достаточно мало влияет на энергию связывания молекулы C₂H₂, составляющую в KOH·3DMSO·C₂H₂ 8,9 ккал/моль, образование комплексов ацетилена с недиссоциированным гидроксидом калия в растворе ДМСО представляется весьма вероятным.

Существует еще одна возможность образования комплексов ацетилена с сольватированными KOH и NaOH — встраивание достаточно компактной молекулы C₂H₂ в уже заполненную сольватную оболочку. Можно ожидать, что молекула ацетилена с большей легкостью будет присоединяться к более объемному атому калия. Действительно, введение двух молекул ДМСО в окружение KOH мало изменяет энергию его взаимодействия с ацетиленом, а включение третьей молекулы растворителя приводит к изменению энергии связывания менее чем на 0,5 ккал/моль (см. табл. 3).

Комплекс KOH·5DMSO·C₂H₂ устойчив ($\Delta H = -7,0$ ккал/моль) относительно распада на KOH·5DMSO и C₂H₂, однако при равновесной геометрии молекула ацетилена оказывается выведенной из взаимодействия с металлическим центром (см. рис. 6, *δ*). Изменение полной энергии системы (без учета колебательных поправок) при образовании KOH·5DMSO·C₂H₂ в используемом приближении MP2/6-311++G**//B3LYP/6-

31G* составляет $-10,7$ ккал/моль. Рассчитанная при сохранении равновесной для KOH·5DMSO·C₂H₂ геометрии энергия взаимодействия ацетилена с пятью молекулами лигандного окружения составляет $-3,6$ ккал/моль. Оставшаяся энергия связывания обусловлена взаимодействием одного из водородных атомов молекулы ацетилена с кислородным атомом щелочи. Такого рода координация не связана с активацией тройной связи по отношению к нуклеофилам, но может способствовать протеканию реакций с образованием этинид-иона.

Отметим, что в случае NaOH этот способ координации становится предпочтительным уже для NaOH·3DMSO·C₂H₂ (см. рис. 6, *γ*). При этом энергия связывания

Таблица 3

Энергия (ΔE , ккал/моль) и энталпия (ΔH , ккал/моль) присоединения молекулы ацетилена к MOH·nDMSO (MP2/6-311++G**//B3LYP/6-31G*)

<i>n</i>	NaOH		KOH	
	ΔE	ΔH	ΔE	ΔH
0	-11,7	-10,8	-11,5	-10,8
2	-8,7	-7,5	-10,0	-8,8
3	-6,9	-6,2	-8,9	-8,4
5	—	—	-10,7	-7,0

молекулы ацетилена в комплексе оказывается ниже, чем в случае даже полностью насыщенной координационной оболочки КОН (см. табл. 3). Тепловой эффект реакции (2) с образованием $\text{NaOH} \cdot 3\text{DMSO} \cdot \text{C}_2\text{H}_2$ можно оценить величиной $-5,5$ ккал/моль.

Возможно, именно большая устойчивость ацетиленовых комплексов обоих типов обеспечивает повышенную активность КОН по сравнению с NaOH в реакциях с использованием суперосновных сред на основе ДМСО.

Работа выполнена при поддержке Российского фонда фундаментальных исследований (грант 06-03-32397а).

СПИСОК ЛИТЕРАТУРЫ

1. Трофимов Б.А., Амосова С.В., Михалева А.И. и др. В сб.: Фундаментальные исследования. Химические науки. – Новосибирск: Наука, Сибирское отделение. – 1977. – С. 174 – 178.
2. Tedeschi R.J. In: Encyclopedia of Physical Science and Technology. Vol. 1. – San Diego: Acad. Press Inc., 1992. – Р. 27 – 65.
3. Trofimov B.A. // Curr. Org. Chem. – 2002. – **6**, N 13. – Р. 1121 – 1162.
4. Тарасова О.А., Коростова С.Е., Михалева А.И. и др. // Химия гетероциклических соединений. – 1983. – **2**. – С. 279.
5. Трофимов Б.А., Михалева А.И. *N*-винилпирролы. – Новосибирск: Наука, 1984.
6. Bean G.P. The synthesis of 1H-pyrroles // In: The Chemistry of Heterocyclic Compounds. Part. 2; Pyrroles / Ed. R.A. Jones. – N. Y.: Wiley, 1992. – **48**. – Р. 105 – 130.
7. Трофимов Б.А. // В кн.: Современные проблемы органической химии. Вып. 14. – СПб.: ВВМ, 2004. – С. 131 – 175.
8. Tomasi J., Mennucci B., Cancès E. // J. Mol. Struct. (THEOCHEM). – 1999. – **464**. – Р. 211 – 226.
9. Almerindo G.I., Tondo D.W., Pliego J.R. Jr. // J. Phys. Chem. A. – 2004. – **108**. – Р. 166 – 171.
10. Кобычев В.Б. // Журн. структур. химии. – 2004. – **45**, № 1. – С. 22 – 30. [Kobychev V.B. // J. Struct. Chem. – **45**, N 1. – Р. 20 – 27].
11. Кобычев В.Б., Витковская Н.М., Зайцева И.Л. и др. // Журн. структур. химии. – 2001. – **42**. – С. 645 – 653. [Kobychev V.B., Vitkovskaya N.M., Zaytseva I.L. et al. // J. Struct. Chem. – 2004. – **45**, N 4. – Р. 536 – 543].
12. Kobychev V.B., Vitkovskaya N.M., Zaytseva I.L. et al. // Int. J. Quant. Chem. – 2002. – **88**. – Р. 542 – 548.
13. Kobychev V.B., Vitkovskaya N.M., Zaytseva I.L., Trofimov B.A. // Ibid. – 2004. – **100**. – Р. 360 – 366.
14. Кобычев В.Б., Витковская Н.М., Трофимов Б.А. // Журн. структур. химии. – 2008. – **49**. – С. 230 – 237.
15. Vitkovskaya N.M., Larionova E.Yu., Kobychev V.B. // Int. J. Quantum Chem. – 2008. – **108**. – in press (DOI: 10.1002/qua.21639)
16. Кобычев В.Б., Витковская Н.М., Шмидт Е.Ю. и др. // Журн. структур. химии. – 2007. – **48**, Прилож. – С. S107 – S116.
17. Витковская Н.М., Московская Т.Э., Трофимов Б.А. // Изв. АН СССР. Сер. хим. – **1982**. – С. 891 – 895.
18. Витковская Н.М., Московская Т.Э., Бернштейн В.Г., Трофимов Б.А. // Там же. – С. 1474 – 1476.
19. Витковская Н.М., Дубникова Ф.С., Долгуничева О.Ю. и др. // Журн. общ. химии. – 1990. – **60**. – С. 411 – 413.
20. Гучик И.В., Фролов Ю.Л., Шагун В.А. и др. // Журн. структур. химии. – 2004. – **45**. – С. 44 – 49.
21. Frisch M.J., Trucks G.W., Schlegel H.B. et al. Gaussian-98, Revision A.6, Gaussian, Inc., Pittsburgh PA, 1998.
22. Фролов Ю.Л., Гучик И.В., Шагун В.А. и др. // Журн. структур. химии. – 2003. – **44**. – С. 1005 – 1010.
23. Lange E., Mishchenko K.P. // Z. Phys. Chem. A. – 1930. – **149**. – С. 1 – 41.
24. Фролов Ю.Л., Гучик И.В., Шагун В.А., Ващенко А.В. // Журн. структур. химии. – 2005. – **46**. – С. 1019 – 1024.
25. Vegiri A., Shevkunov S. // J. Chem. Phys. – 2000. – **113**. – Р. 8521 – 8530.
26. Васильцов А.М., Амосова С.В., Трофимов Б.А. // Изв. АН СССР. Сер. хим. – **1987**. – С. 1785 – 1791.
27. Carpenter J.E., Weinhold F. // J. Mol. Struct. (Theochem). – 1988. – **169**. – Р. 41 – 62.